

**Nota importante: questi appunti sono stati presi da me a lezione, e integrati ove necessario con materiale reperito su siti web, libri, etc.**

**Questi appunti non sono assolutamente da ritenere come sostituto di materiale didattico fornito dal professore del corso (libri, dispense etc.), ma come supporto allo studio personale; non sono inoltre né visionati né approvati dal Docente del Corso.**

**Non escludo che siano affetti da errori e/o imprecisioni, e declino ogni responsabilità sull'uso che si farà di questo fascicolo.**

## Funzione descrittiva

### Sistemi con semplici non linearità

L'ipotesi di linearità di un sistema di controllo è giustificata nella realtà solo se tutte le variabili del sistema subiscono variazioni piccole; infatti, tutti i sistemi reali sono non lineari e si comportano approssimativamente in maniera lineare solo per piccoli segnali. In particolare:

- le caratteristiche dipendono dall'ampiezza dei segnali;
- lo studio è più complesso;
- è difficile imporre specifiche.

Gli obiettivi minimi sono di verificare la presenza di oscillazioni (cicli limite) e calcolare i valori di regime.

Le ipotesi sono:

- Una sola NL SISO (Non lineare, Singolo Ingresso Singola Uscita) nel ciclo;
- La caratteristica è algebrica non differenziale, cioè non dipende da  $\omega$ .

### Ciclo limite

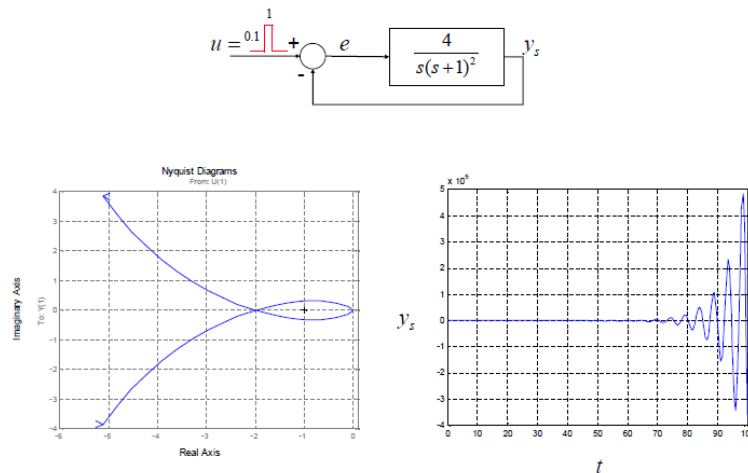
Si ha un ciclo limite quando l'andamento delle variabili di stato di un sistema autonomo ( $u=0$ ) è periodico. È definito da ampiezza e frequenza. Un esempio è l'orbita di un satellite. Possiamo applicare al ciclo limite i concetti di stabilità:

- ciclo limite stabile:  $x(t)$ , dopo una piccola perturbazione istantanea, torna sul ciclo limite;
- ciclo limite instabile:  $x(t)$ , dopo una piccola perturbazione istantanea, si allontana.

I cicli limite si possono avere solo con sistemi non lineari.

## Oscillazione di un sistema lineare

### OSCILLAZIONI IN UN SISTEMA LINEARE



Abbiamo modo di notare che la funzione ad anello aperto è instabile:

- su Bode il margine di fase è negativo;
- su Nyquist abbraccia il punto  $(-1, 0)$ ; inoltre Nyquist mi dice che anche il sistema ad anello chiuso è instabile.

La funzione ad anello chiuso è:

$$\frac{4}{s^3 + 2s^2 + s + 4}$$

L'instabilità della funzione a ciclo chiuso la posso vedere:

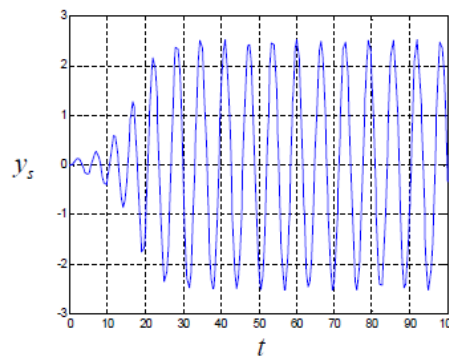
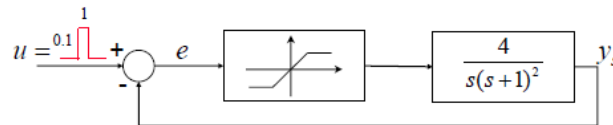
- su Bode il margine di fase è negativo;
- su Nyquist: un diagramma a ciclo aperto di Nyquist instabile implica che il diagramma di Nyquist a ciclo chiuso dove abbraccia  $(-1, 0)$ , ma qui non succede quindi è instabile.

La risposta impulsiva del sistema a ciclo chiuso è uguale al secondo grafico in basso a destra dell'immagine qui sopra.

## Ciclo limite di un sistema non lineare

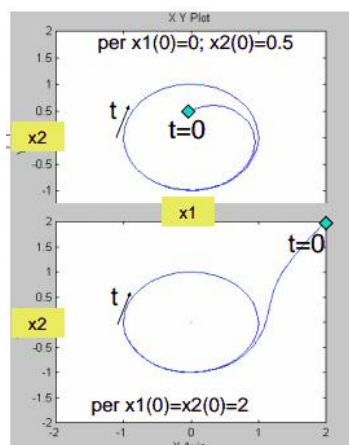
Inseriamo un saturatore nel sistema:

### CICLO LIMITE IN UN SISTEMA NON LINEARE

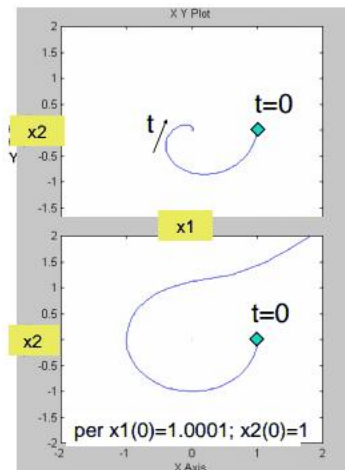


La saturazione è il massimo (e minimo) valore assoluto che la magnetizzazione di un materiale può raggiungere, quando tale materiale è sottoposto ad un campo magnetico esterno. In questo sistema, il saturatore dopo una certa frequenza taglia il segnale mantenendolo costante.

Un ciclo limite è stabile se il suo diagramma segue l'andamento circolare ( $x_1^2 + x_2^2 = 1$ ), altrimenti assume una forma uncinata ed è instabile.



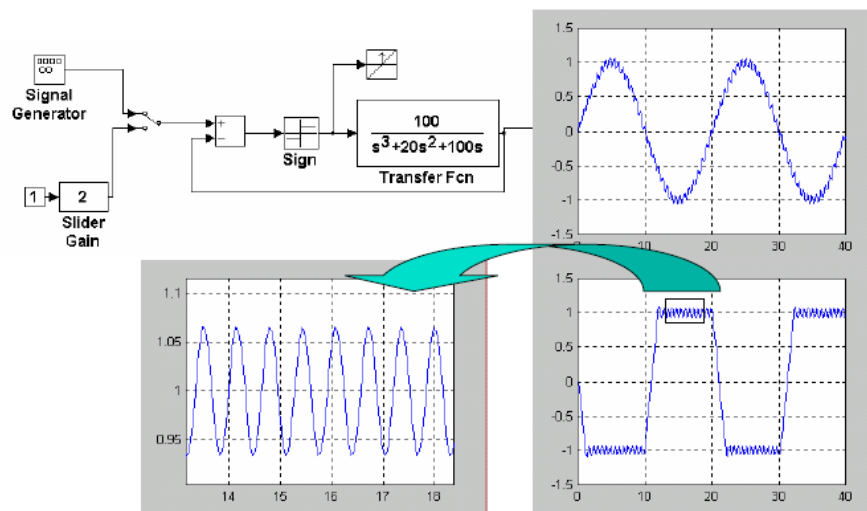
ciclo limite stabile



ciclo limite instabile

## Ciclo limite in un sistema a controreazione

Il ciclo limite di un sistema a controreazione, invece si presenta così:



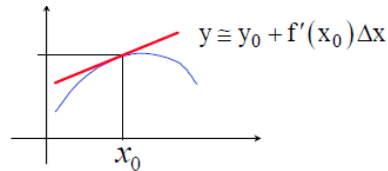
Questo sistema trasforma gli ingressi positivi in +1, mentre quelli negativi in -1.

## Linearizzazione

Abbiamo studiato le linearizzazioni mediante l'espansione in serie di Taylor; essa è adatta per ogni tipo di  $\Delta x(t)$  purchè sia tendente a 0 e purchè sia derivabile.

### Taylor

- esatta per  $\Delta x \rightarrow 0$

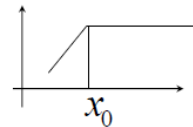


- adatta  $\forall$  tipo di  $\Delta x(t)$

Si trascurano le derivate  $>1$

- Cade se  $\Delta x$  grande, ad es. oscillazioni

- Non utilizzabile se  $\nexists f'(x)$



In questi sistemi si deve linearizzare secondo il metodo armonico:

### Armonica

$$x \sin \omega t \longrightarrow \boxed{L} \longrightarrow Kx \sin(\omega t + \varphi)$$

$$x \sin \omega t \longrightarrow \boxed{NL} \longrightarrow \Sigma Y_i(x) \sin[i\omega t + \varphi_i(x)] \cong Y_0 + Y_1(x) \sin[\omega t + \varphi_1(x)]$$

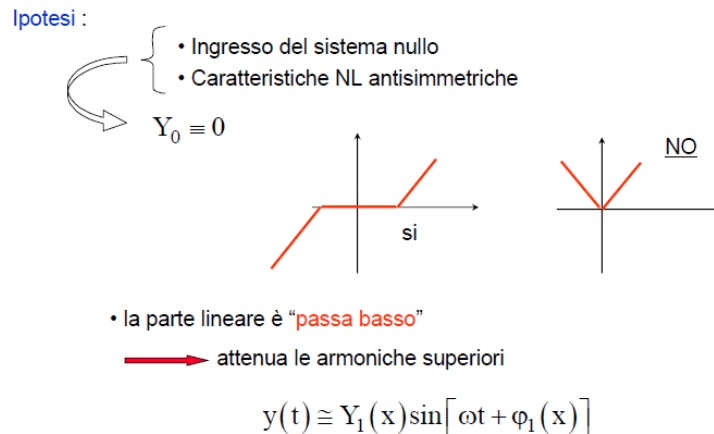
- Non legata ad un punto di lavoro ma ad un tipo di ingresso
- Valida per ogni ampiezza

Si trascurano le armoniche  $>1$

Il segnale in uscita è esprimibile come somma di armoniche. Non considero le armoniche di ordine superiore. L'uscita dipende dall'ampiezza del segnale  $x$  applicato all'ingresso.

## Metodo della funzione descrittiva

Le ipotesi vogliono che l'ingresso sia nullo, che ci sia anti-simmetria rispetto all'origine, e che la parte lineare sia passa-basso in modo da attenuare le armoniche superiori (visto che come detto prima si trascurano le armoniche che :



Andiamo a considerare delle non linearità che sono simmetriche all'origine: in mancanza di simmetria rispetto all'origine, un ingresso sinusoidale produrrebbe un valore medio.

Ipotizziamo che la parte lineare si di tipo passa basso.

La funzione descrittiva è una funzione complessa:

$$F(x) = \frac{1}{x} \cdot Y_1(x) \cdot e^{j\phi_1(x)}$$

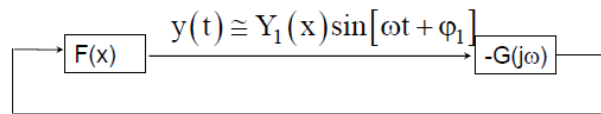
ovvero il numero complesso, funzione dell'ampiezza X del segnale sinusoidale applicato all'ingresso, il cui modulo è uguale al rapporto tra l'ampiezza fondamentale  $y_1$  del segnale d'uscita e quella x del segnale d'ingresso e il cui argomento è uguale allo sfasamento  $\phi_1$  della fondamentale del segnale d'uscita rispetto al segnale d'ingresso.

F(x) è quasi una funzione di trasferimento, con guadagno variabile.



Il primo è il loop che vogliamo studiare (L rappresenta la parte lineare e c'è la non linearità rappresentata da NL). L'ingresso viene impostato a 0 perché il tutto si deve autosostenere.

Il segno meno quindi viene messo dall'altra parte dentro il nuovo blocco  $G(j\omega)$  :



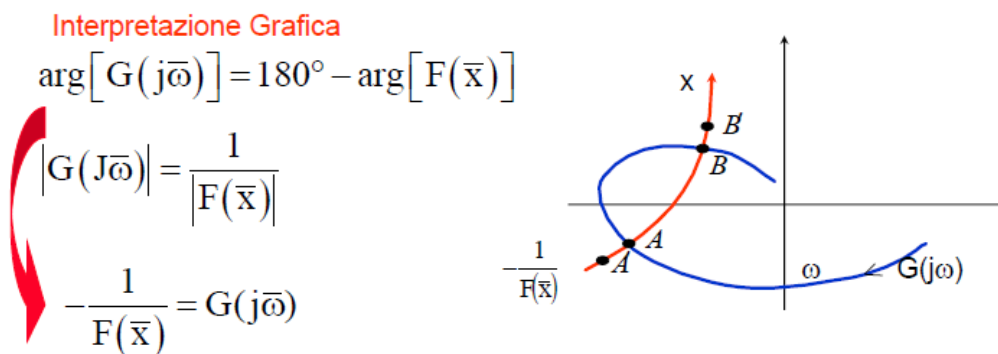
$y(t)$ , dopo esser passato per  $F(x)$ , quando passa per il secondo blocco, ritorna al valore iniziale:

$$X \sin \omega t \xrightarrow{F(x)} Y_1(x) \sin[\omega t + \phi_1] \xrightarrow{-G(j\omega)} X \sin \omega t$$

Condizioni per un ciclo limite  $\bar{x}, \bar{\omega}$

$$\begin{cases} |G(j\bar{\omega})| \cdot Y_1(\bar{x}) = \bar{x} \\ \angle G(j\bar{\omega}) + \phi_1(\bar{x}) = 180^\circ \end{cases} \quad \rightarrow \quad |G| = \frac{1}{|F|}$$

L'equazione possiamo risolverla graficamente poiché gli eventuali punti di intersezione tra i diagrammi polari (Nyquist) e  $G(j\omega)$  e  $-\frac{1}{F(x)}$  corrispondono ai valori di  $\omega$  di  $x$  per i quali è soddisfatta la precedente la precedente condizione.



Quando c'è intersezione c'è un ciclo limite

A : C.L. instabile se  $\bar{x}$  diminuisce ( $A'$ ), occorrerebbe  $|G|$  maggiore

B : C.L. stabile se  $\bar{x}$  aumenta ( $B'$ ) con  $|G| = \text{cost}$ , può ridiminuire e tornare a B

Ad un punto di intersezione di  $G(j\omega)$  e  $-\frac{1}{F(x)}$  corrisponde un ciclo limite stabile quando all'aumentare di  $x$ , il punto  $-\frac{1}{F(x)}$  tende ad uscire dal dominio la cui frontiera è costituita



dal diagramma polare completo di  $G(j\omega)$  , altrimenti è instabile.